

3. Получена зависимость предела выносливости хвостовиков лопаток от наработки на двигателе, указывающая на значительное снижение выносливости хвостовиков в процессе наработки.

4. Показано, что с наработкой лопаток на двигателе происходит деформация кривой предельного состояния хвостовиков при асимметричном нагружении в сторону уменьшения допустимых соотношений статического и переменного напряжений.

5. Установлено, что одной из причин снижения выносливости в процессе наработки является релаксация остаточных напряжений от упрочняющей обработки. Анализ полученных пределов выносливости показал, что существуют и другие факторы, влияющие на снижение выносливости хвостовиков лопаток в процессе наработки, механизм действия которых выполненным комплексом исследований не установлен.

Библиографический список

1. Серенсен С.В. О сопротивлении усталости при сложном напряженном состоянии и симметричном цикле //Некоторые вопросы усталостной прочности стали. - М.: Машгиз, 1953. - С. 102-115.

2. Степнов М.Н. Статистическая обработка результатов механических испытаний. - М.: Машиностроение, 1972. - 232 с.

3. Форрест П. Усталость металлов. - М.: Машиностроение, 1968. - 352 с.

УДК 621.643.4

А.И.Крюков, А.А.Сидоренко, Ф.С.Хусаинов

РЕЗУЛЬТАТЫ ИССЛЕДОВАНИЯ УСТАЛОСТНОЙ ПРОЧНОСТИ СИЛЬФОННЫХ КОМПЕНСАТОРОВ ГТД ПРИ ВИБРАЦИОННОМ НАГРУЖЕНИИ

В проблеме надежности авиационной техники наиболее важной и сложной задачей является обеспечение усталостной прочности конструкций.

Известно, что уравнение кривой усталости с использованием линейного регрессионного анализа имеет вид

$$\lg N = \lg \bar{N} + r \frac{S_N}{S_{\sigma}} (\lg \sigma - \lg \bar{\sigma}), \quad (1)$$

где

$$\lg \bar{N} = \frac{\sum_{i=1}^m n_i \bar{y}_i}{\sum_{i=1}^m n_i}; \quad \lg \bar{\sigma} = \frac{\sum_{i=1}^m n_i \bar{\sigma}_i}{\sum_{i=1}^m n_i}.$$

Здесь m - число уровней неслучайной величины σ ; n_i - число испытаний при данном значении σ ; $i = 1, 2, 3, \dots, m$;

$\bar{y}_i = \frac{1}{n_i} \sum_{k=1}^{n_i} N_{ik}$; $k = 1, 2, 3, \dots, n_i$; S_N и S_{σ} - выборочные средние квадратичные отклонения $\lg N$ и $\lg \sigma$; r - коэффициент корреляции;

$$S_N = \sqrt{\frac{1}{n-1} \left[\sum_{i=1}^n (\lg N_i)^2 - \frac{1}{n} \left(\sum_{i=1}^n \lg N_i \right)^2 \right]};$$

$$S_{\sigma} = \sqrt{\frac{1}{n-1} \left[\sum_{i=1}^n (\lg \sigma)^2 - \frac{1}{n} \left(\sum_{i=1}^n \lg \bar{\sigma} \right)^2 \right]};$$

$$r = \frac{\sum_{i=1}^m n_i (\lg \sigma - \lg \bar{\sigma}) \bar{y}_i}{\sum_{i=1}^m n_i (\lg \sigma - \lg \bar{\sigma})^2}.$$

Уравнение кривой усталости (эмпирической линии регрессии), полученное данным методом, будет иметь следующий вид:

$$\lg N = 15,56 - 3,69 \lg \sigma. \quad (2)$$

Наиболее полное представление о долговечности дает семейство кривых распределения долговечности (рис. 1), которое позволяет построить усталостную кривую для любого заданного уровня вероятности разрушения P силфона. Для этих кривых вероятность разрушения P будет

$$P_i = \frac{i - 0,5}{n}, \quad (3)$$

где i - номер образца в вибрационном ряду; n - число образцов в ряду (объем выбора).

Уравнение (2) дает возможность определять долговечность сильфонного компенсатора при его вибрационном нагружении.

Расчет напряжений в наиболее нагруженном полутофре сильфона производили в следующей последовательности.

Первоначально определяли амплитуду колебаний сильфона для расчетной схемы эквивалентного (по упругости и погонной массе) стержня, длина которого равна длине гибкой части сильфона [1].

В таких расчетах широкое распространение получила формула Е.С.Сорокина [2], которая неупругое сопротивление S^* представляет как суммарную внутреннюю силу сопротивления:

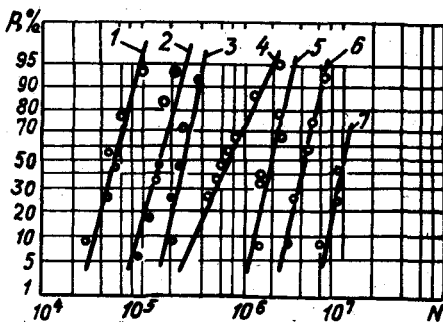
$$S^* = \left(1 + i \frac{\varphi}{2\pi}\right) C \varphi, \quad (4)$$

где C - жесткость системы; φ - обобщенная координата; φ - коэффициент рассеяния энергии.

С учетом (4), а также принимая во внимание, что демпфирующая способность компенсатора может быть выражена через логарифмический декремент колебаний δ ($\varphi = 2\delta$), получим дифференциальное уравнение вынужденных продольных колебаний:

$$m \frac{\partial^2 u}{\partial t^2} - \left[1 + i \frac{\delta(A)}{\pi}\right] (EF)_{пр} \frac{\partial^2 u}{\partial x^2} = T(x) e^{i\omega t}, \quad (5)$$

где m - погонная масса сильфона; $(EF)_{пр}$ - приведенная продольная жесткость сильфона [1]; u - смещение вдоль оси сильфона (ось X); $T(x) e^{i\omega t}$ - гармоническая возмущающая сила частоты ω ; A - амплитуда колебаний.



Р и с. 1. Кривые распределения долговечности сильфонов для различных уровней интенсивности напряжений: 1 - $\sigma_{экр} = 778$ МПа; 2 - $\sigma_{экр} = 726$ МПа; 3 - $\sigma_{экр} = 558$ МПа; 4 - $\sigma_{экр} = 406$ МПа; 5 - $\sigma_{экр} = 305$ МПа; 6 - $\sigma_{экр} = 254$ МПа; 7 - $\sigma_{экр} = 207,5$ МПа

Максимальную амплитуду колебаний по j -й форме найдем из выражения

$$A_j = \beta_j \left\{ \left(A - \frac{\omega_B^2}{\omega_{0j}^2} \right)^2 + \left[\frac{\delta(A)}{\pi} \right]^2 \right\}^{-\frac{1}{2}} \quad (6)$$

Здесь

$$\beta_j = \frac{A_B \omega_B^2 \int_0^1 Y_j^0(\xi) d\xi}{\omega_{0j}^2 \int_0^1 Y_j^2(\xi) d\xi} = 2 A_B \frac{\omega_B^2 (1 - \cos \pi j)}{\omega_{0j}^2 (0,5 - 0,25 \sin 2\pi j)};$$

$Y_j(\xi) = \sin \pi j \xi$ - уравнение формы колебаний; A_B - амплитуда колебаний опор; $A_B = \frac{w}{\omega_B^2}$; ω_{0j} - собственная частота продольных колебаний по j -й форме.

Собственную частоту продольных колебаний определим в общем случае по формуле

$$\omega_{0j} = K_w K_p \frac{j}{l} \sqrt{\frac{(EF)_{np}}{m}} \quad (7)$$

При этом влияние давления на частоты колебаний учитывается коэффициентом K_p , равным

$$K_p = 1 + \left(\frac{0,0275 d_y P_{раб}}{j n p} \right) \sqrt{z-1}, \quad (8)$$

где d_y - условный диаметр компенсатора; n - число гофров сильфона; p - внутреннее давление; $P_{раб}$ - максимальное рабочее давление; K_w - коэффициент, учитывающий влияние виброускорения (нелинейность частотной характеристики сильфона), равный

$$K_w = 1 - 0,1 \left(\frac{d_y}{90} \right)^{0,5} \left(\frac{z}{3} \right)^{0,8} \left(\frac{11}{j n} \right)^{1,0} \lg w; \quad (9)$$

w - виброускорение ($w \geq 1 \text{ м/с}^2$); z - число слоев сильфона.

Декременты колебания сильфонов были определены для случая математического возбуждения по формуле [3]

$$\sigma = \pi \frac{w}{\omega^2 A_p},$$

где A_p - резонансная амплитуда.

На основе экспериментальных исследований авторами получена обобщенная аналитическая зависимость декрементов колебаний сильфонов от амплитуды колебаний

$$\delta = 10^{-5} d_y (R_H - R_B) \sqrt{2\eta} + 0,012 \left(\frac{100}{d_y} \right)^{0,2} \left(1 + \frac{22}{\pi} \right) A^{(d_y/100)^{0,4}}, \quad (10)$$

где $(R_H - R_B)$ - высота гофра. В формуле (10) размеры R_H, R_B, d_y и A следует брать в мм.

При расчете амплитуд вынужденных колебаний задается минимальное значение вероятной амплитуды A_j (можно принять $A_j > A_B$), по формулам (6), (10) методом последовательных приближений находится искомая амплитуда A_j .

Для расчета деформаций гофра необходимо знать перемещение полугофра, которое (исходя из формы колебаний) может быть определено так:

$$a = A_j \sin \left(\frac{d}{2n} \pi \right). \quad (11)$$

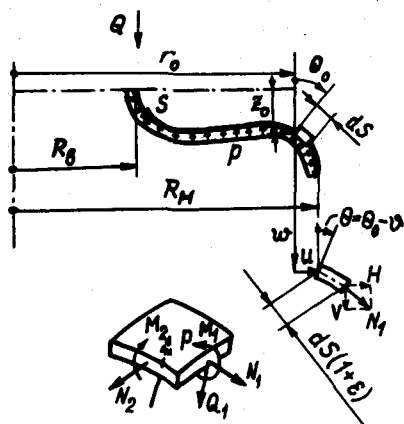
Перемещение a является граничным условием при определении деформаций полугофра на основе уравнений Рейснера [4], учитывающих геометрическую нелинейность:

$$\left. \begin{aligned} \frac{d}{ds} (\varepsilon_2 r) &= (1 - \varepsilon_1) \cos \theta \cos \theta_0; \\ \frac{d}{ds} (r M_r) - M_2 \cos \theta - r Q_1 &= 0. \end{aligned} \right\} \quad (12)$$

Здесь (рис. 2) ε_1 и ε_2 - меридиональная и окружная деформации; θ, θ_0 - углы наклона меридиана; Q_1 - поперечная сила; M_1 и M_2 - меридиональный и окружной изгибающие моменты; s - дуга (независимая переменная).

Выразим в первом уравнении системы (12) величины ε_1 и ε_2 через меридиональное (N_1) и окружное (N_2) усилия:

$$\varepsilon_1 = \frac{1}{Eh} (N_1 - \mu N_2); \quad \varepsilon_2 = \frac{1}{Eh} (N_2 - \mu N_1), \quad (13)$$



Р и с. 2. Элемент сиффона до и после деформации

затем преобразуем второе уравнение системы (I2) с учетом следующих выражений для моментов, главных кривизн, усилий и уравнений равновесия:

$$\begin{aligned} M_1 &= -D(\alpha_1 + \mu \alpha_2); \\ M_2 &= -D(\alpha_2 + \mu \alpha_1); \end{aligned} \quad (I4)$$

$$\alpha_1 = \frac{dv}{ds_0}; \quad \alpha_2 = \frac{1}{r_0}(\sin \theta - \sin \theta_0); \quad (I5)$$

$$\begin{aligned} N_1 &= V \sin \theta + H \cos \theta; \\ Q_1 &= V \cos \theta - H \sin \theta; \end{aligned} \quad (I6)$$

$$\frac{d}{ds}(Hr) - N_2 - pr \sin \theta = 0; \quad (I7)$$

$$\frac{d}{ds}(Vr) + pr \cos \theta = 0. \quad (I8)$$

Здесь H и V - интенсивность радиальной и осевой составляющих меридионального усилия; r - расстояние от оси вращения до текущей точки срединной поверхности; $v = \theta_0 - \theta$; p - давление;

$D = \frac{Eh^3}{12(1-\mu^2)}$ - цилиндрическая жесткость; h - толщина оболочки; E - модуль упругости; μ - коэффициент Пуассона.

В результате выполнения необходимых преобразований и перехода к безразмерным величинам получим систему разрешающих дифференциальных уравнений с учетом изменения геометрии гофра в процессе нагружения:

$$\begin{cases} \psi'' + d_1 \psi' + d_2 \psi + d_3 v + d_4 v \psi + d_5 v^2 + d_6 \psi v' = q l_1 + p l_2 + l_3; \\ v'' + c_1 v' + c_2 v + c_3 \psi + c_4 \psi v + c_5 v^2 + c_6 v v' = q m_1 + m_2. \end{cases} \quad (I9)$$

Здесь неизвестными являются: v - угол поворота нормали; ψ - функция радиального усилия H .

Безразмерные параметры имеют вид

$$\psi = \bar{\psi} + \frac{P_p}{2},$$

$$\text{где } \bar{\psi} = \frac{Q}{2\pi E h^2}; \quad P_p = \frac{\rho R_H}{E h^2} \rho^2; \quad \rho = \frac{r_0}{R_H};$$

R_H - наружный радиус сильфона. Значения коэффициентов c_i и d_i (19) описаны в работе [4].

Для решения системы (19) можно использовать численный метод Ньютона-Канторовича [5]. Полученные при этом линеаризованные дифференциальные уравнения аппроксимируются конечно-разностными уравнениями и решаются методом прогонки. По найденным в результате решения функциям v и ψ вычисляются напряжения и деформации в наиболее нагруженной точке полувоины узлового гофра:

$$\sigma_1 = \frac{E h_0^2}{R h} [\psi a_1 - q a_4 - v (\psi a_4 + q a_1) \pm \frac{E h}{2R(1-\mu^2)} \left[\frac{dv}{d\xi} + \mu \left(a_1 v - \frac{a_4}{2} v^2 \right) \right]];$$

$$\sigma_2 = \frac{E h_0^2}{R h} \left[\frac{d\psi}{d\xi} - \rho_p (a_4 + v a_1) \pm \frac{E h}{2R(1-\mu^2)} \left[(v a_1 - \frac{a_4}{2} v^2 + \mu \frac{dv}{d\xi}) \right] \right],$$

где h_0 - толщина гофра во впадине (максимальная); $a_1 = \frac{1}{\rho} \cos \theta_0$;
 $a_4 = \frac{1}{\rho} \sin \theta_0$.

Интенсивность напряжений представим в виде

$$\sigma_{\text{эKB}} = \sqrt{\sigma_1^2 + \sigma_2^2 - \sigma_1 \sigma_2},$$

интенсивность деформаций -

$$\varepsilon_{\text{эKB}} = \frac{\sigma_{\text{эKB}}}{3G},$$

где $G = \frac{E}{2(1-\mu)}$ - модуль сдвига.

Динамические напряжения определяются с использованием уравнений контура петли гистерезиса, предложенных Г.С.Писаренко [6]:

$$\frac{\sigma_{\text{эKB}}}{E} = \left\{ \varepsilon_{\text{эKB}} \pm \frac{3}{8} \delta(\varepsilon_{\text{эKB}}) (\varepsilon_{\text{эKB}} \mp \varepsilon_{\text{эKB}} - \frac{\varepsilon_{\text{эKB}}^2}{\varepsilon_{\text{эKB}}}) \right\}, \quad (20)$$

где $\varepsilon_{\text{эKB}}$ - амплитуда интенсивности деформаций;

$$\delta(\varepsilon_{\text{эKB}}) \equiv \delta(A).$$

Таким образом, определив амплитуду динамических напряжений согласно выражению (20) и приняв в нем $\epsilon_{экр} = \epsilon_{аэкр}$, по уравнению кривой усталости (2) можно оценить долговечность компенсатора.

Библиографический список

1. Итбаев В.К., Хусайнов Ф.С. Демпфирующие характеристики компенсаторов //Тр. НИИД. - М., 1984. - Ч. П. - С. 116-122.
2. Сорокин Е.С. Уравнение динамической упругости с учетом внутреннего трения //Вопросы механики в приложении к транспорту и строительству. - М.: НИИТ, 1971. - Вып. 343. - С. 3-14.
3. Вибрации в технике. - М.: Машиностроение, 1978. - Т. I.
4. Андреев Л.Е. Упругие элементы приборов. - 2-е изд., перераб. и доп. - М.: Машиностроение, 1981. - 392 с.
5. Огибалов П.М., Колтунов М.А. Оболочки и пластины. - М.:Изд-во МГУ, 1969. - 695 с.
6. Писаренко Г.С. О новом подходе к описанию контура петли гистерезиса в теории механических колебаний //Проблемы прочности. - 1971. - № 6. - С. 21-22.

УДК 620.178.311

Г.В.Лазуткин, А.М.Уланов, А.К.Анохин

ОПРЕДЕЛЕНИЕ ДИНАМИЧЕСКИХ ХАРАКТЕРИСТИК ВИБРОИЗОЛЯТОРОВ ИЗ МАТЕРИАЛА МР ПРИ МНОГОФАКТОРНОМ НАГРУЖЕНИИ

Виброзащитные системы (ВС) на основе материала МР широко применяются для снижения вибрационной напряженности агрегатов и узлов ДЛА в условиях одновременного воздействия вибрационных, ударных и постоянно действующих перегрузок. Однако ни экспериментальных, ни теоретических результатов исследования поведения ВС в подобных условиях не имеется. Это объясняется как отсутствием специального испытательного оборудования для многофакторного нагружения ВС, так и трудностями теоретического решения задачи, связанными с неоднозначной зависимостью упруго-демпфирующих характеристик виброизоляторов из МР от деформации (оци -